XXXI

1960

4

ТЕОРИЯ УПРУГОСТИ

А. А. Баблоян

Изгиб призматических стержней с поперечным сечением в виде кольцевого сектора с выточкой на криволинейной части

(Представлено академиком АН Армянской ССР Н. Х. Арутюняном 24. VI 1960)

Рассматривается задача об изгибе призматического стержня с поперечным сечением в виде кольцевого сектора с симметрично расположенной выгочкой на криволинейной части. Точное решение рассмагриваемой задачи получено методом приведения решения к бесконечным системам линейных уравнений (1,2). Доказано, что полученные системы вполне регулярны и имеют ограниченные сверху и
стремящиеся к нулю (при $p \rightarrow \infty$) свободные члены. Приведены числовые
примеры определения координаты центра изгиба для стержней с различными размерами.

§1. Постановка задачи. Пусть внешняя изгибающая сила Q приложена на свободном конце стержня параллельно оси у и проходит через центр изгиба, т. е. изгиб не сопровождается кручением. Функция напряжений при изгибе F(x,y) внутри области поперечного сечения удовлетворяет следующему уравнению (3)

$$\nabla^2 F(x,y) = \frac{Q\sigma(x - x_0)}{(1 + \sigma)J} - \frac{Q}{2J}f(x), \tag{1.1}$$

где x_0 —координата центра тяжести сечения, J—момент инерции поперечного сечения относительно оси x, f(x)—произвольная функция, σ —коэффициент Пуассона.

На контуре сечения функция F(x, y) удовлетворяет условию

$$\frac{\partial F}{\partial s} = \frac{Q}{2J} \left[y^2 - f(x) \right] \frac{dx}{ds}. \tag{1.2}$$

В силу симметрии достаточно рассматривать только область ABCDEF (фиг. 1). Чтобы решение, определенное в этой части области, распространилось на всю область сечения, требуется, чтобы вдоль горизонтальной оси симметрии на линии AB нормальная производная функции F(x,y) равнялась нулю.

Положим

$$f(x) = b^2 - x^2 ag{1.3}$$

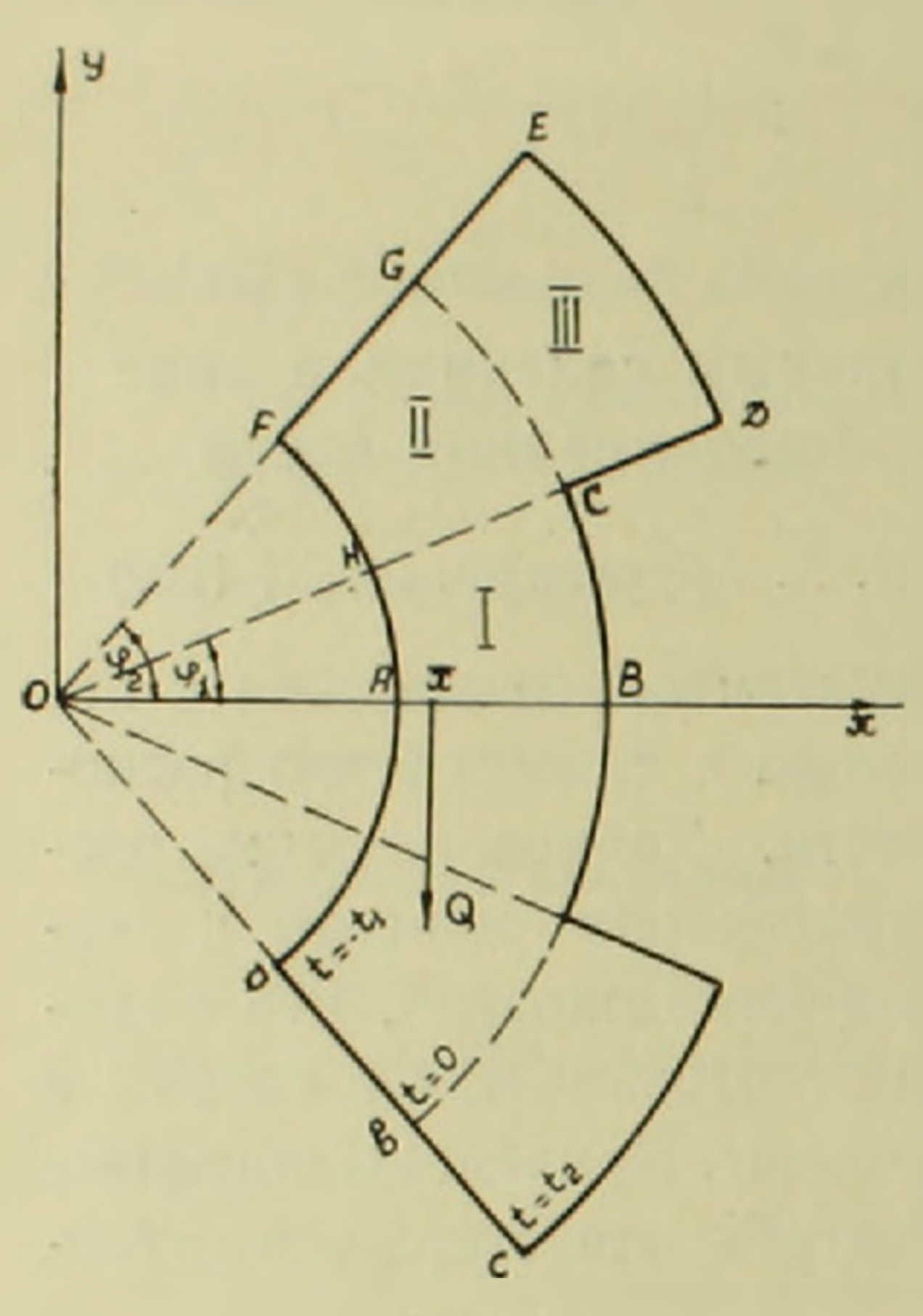


и перейдем к новым координатам следующим образом (2,3)

$$x = be^t \cos\varphi, \ y = be^t \sin\varphi. \tag{1.4}$$

Тогда уравнение (1.1) и условие (1.2) примут вид:

$$\nabla^2 F(t,\varphi) = \frac{(1+2\sigma)Qb^3}{(1+\sigma)J} e^{3t} \cos\varphi - \frac{\sigma x_0 Qb^2}{(1+\sigma)J} e^{2t}, \qquad (1.5)$$



 $\frac{\partial F}{\partial s} = -\frac{Qb^3}{2J} (1 - e^{2t}) \frac{d(e^t \cos \varphi)}{ds}$ (1.6)

Напряжения $\tau_{z\varphi}$ и τ_{rz} выражаются через функцию напряжений $F(t, \varphi)$ соотношениями

$$\tau_{z\varphi}(t,\varphi) = -\frac{1}{be^{t}} \frac{\partial F}{\partial t} + \frac{Qb^{2}}{2J} (e^{2t} - 1) \cos\varphi,$$

$$\tau_{rz}(t,\varphi) = \frac{1}{be^{t}} \frac{\partial F}{\partial \varphi} + \frac{Qb^{2}}{2J} (e^{2t} - 1) \sin\varphi.$$

$$(1.7)$$

Фиг. 1

В области ABCDEF функцию $F(t, \varphi)$ ищем в виде (1)

$$F(t,\varphi) = egin{cases} F_1(t,arphi) & ext{в области I} \ F_2(t,arphi) & ext{в области II} \ F_3(t,arphi) & ext{в области III} \end{cases}$$

Пользуясь условием симметрии и граничными условиями (1.6), в силу (1.8) для $F_i(t,\varphi)$ (i=1, 2, 3) получим следующие условия:

$$F_{1}(0, \varphi) = \frac{\partial F_{1}}{\partial \varphi}\Big|_{\varphi=0} = 0.$$

$$F_{3}(t, \varphi_{1}) = -\frac{Qb\cos\varphi_{1}}{6J} (3e^{t} - e^{3t} - 2),$$

$$F_{3}(t_{2}, \varphi) = -\frac{Qb^{3}}{2J} (e^{t_{2}} - e^{3t_{2}})\cos\varphi - \frac{Qb^{3}\cos\varphi_{1}}{3J} (e^{3t_{2}} - 1),$$

$$F_{3}(t, \varphi_{2}) = F_{2}(t, \varphi_{2}) = -\frac{Qb^{3}\cos\varphi_{2}}{6J} (3e^{t} - e^{3t} - 2e^{3t_{2}}) - \frac{Qb^{3}\cos\varphi_{1}}{3J} (e^{3t_{2}} - 1),$$

$$(1.9)$$

$$F_{2}(-t_{1}, \varphi) = F_{1}(-t_{1}, \varphi) = -\frac{Qb^{3}}{2J} (e^{-t_{1}} - e^{-3t_{1}}) \cos \varphi + \frac{Qb^{3} \cos \varphi_{2}}{3J} (e^{3t_{2}} - e^{-3t_{1}}) - \frac{Qb^{3} \cos \varphi_{1}}{3J} (e^{3t_{2}} - 1);$$

$$F_{1}(t, \varphi_{1}) = F_{2}(t, \varphi_{1}), \quad F_{2}(0, \varphi) = F_{3}(0, \varphi),$$

$$\frac{\partial F_{1}}{\partial \varphi}\Big|_{\varphi = \varphi_{1}} = \frac{\partial F_{2}}{\partial \varphi}\Big|_{\varphi = \varphi_{1}}, \quad \frac{\partial F_{2}}{\partial t}\Big|_{t=0} = \frac{\partial F_{3}}{\partial t}\Big|_{t=0};$$
(1.10)

где

$$t_1 = -\ln\frac{a}{b}, \quad t_2 = \ln\frac{c}{b}.$$
 (1.11)

§2. Спределение функции напряжения. Решая уравнение (1.5) методом разделения переменных и удовлетворив условиям (1.9) и (1.10), для функций $F_i(t, \varphi)$ (i=1, 2, 3) получим выражения:

$$F_{1}(t,\varphi) = C_{1}\cos\varphi \left[e^{3t} - \frac{\sinh(t_{1} + t)}{\sinh t_{1}} + e^{-3t_{1}} \frac{\sinh t}{\sinh t_{1}} \right] - C_{2} \left[e^{2} - \frac{t_{1} + t}{t_{1}} + \frac{t}{t_{1}} e^{-2t_{1}} \right] + \frac{Qb^{3}}{J} e^{-2t_{1}} \sinh \cos\varphi - \frac{Qb^{3}}{3J} \left[(e^{3t_{1}} - e^{-3t_{1}}) \cos\varphi_{2} - (e^{3t_{2}} - 1) \cos\varphi_{1} \right] \frac{t}{t_{1}} + \frac{2}{t_{1}} \sum_{k=1}^{\infty} \frac{X_{k} + A_{k}}{\beta} \frac{\cosh\beta_{k} \varphi}{\cosh\beta_{k} \varphi_{1}} \sin\beta_{k} t; \qquad (2.1)$$

в области ($0 \leqslant 5 \leqslant 61 - t_1 \leqslant t < 0$)

$$F_{2}(t,\varphi) = C_{1}e^{3t} \left[\cos\varphi - \frac{\cos\varphi_{1}\sin3\left(\varphi_{2}-\varphi\right) + \cos\varphi_{2}\sin3\left(\varphi-\varphi_{1}\right)}{\sin3\left(\varphi_{2}-\varphi_{1}\right)} \right] - C_{2}e^{zt} \left[1 - \frac{\sin2\left(\varphi_{2}-\varphi\right) + \sin2\left(\varphi-\varphi_{1}\right)}{\sin2\left(\varphi_{2}-\varphi_{1}\right)} \right] + \frac{Qb^{3}}{\sin3\left(\varphi_{2}-\varphi\right) + \cos\varphi_{2}\sin3\left(\varphi-\varphi_{1}\right)} - \frac{Qb^{3}}{2f}e^{t}\cos\varphi + \frac{Qb^{3}}{3J} \left\{ (\cos\varphi_{2}-\cos\varphi_{1}) \left[e^{3t_{2}} \frac{\varphi-\varphi_{1}}{\varphi_{2}-\varphi_{1}} - \frac{t}{t_{1}} \frac{\varphi_{2}-\varphi}{\varphi_{2}-\varphi_{1}} \left(e^{3t_{2}}-e^{3t_{1}} \right) \right] + + \cos\varphi_{1} \right\} - \frac{2}{\varphi^{2}-\varphi_{1}} \sum_{k=1}^{\infty} \frac{mY_{k}}{\delta_{k}} \frac{\sinh\delta_{k}\left(t_{1}+t\right)}{\sinh\delta_{k}\left(t_{1}} + \frac{t}{t}\right)} \sin\delta_{k}\left(\varphi-\varphi_{1}\right) + \frac{2}{\varphi_{2}-\varphi_{1}} \sum_{k=1}^{\infty} \frac{B_{k}}{\delta_{k}} \frac{\sinh\delta_{k}\left(t_{1}+t\right)}{\sinh\delta_{k}\left(t_{1}-\varphi_{1}\right)} \sin\delta_{k}\left(\varphi-\varphi_{1}\right) + \frac{2}{t_{1}} \sum_{k=1}^{\infty} \frac{X_{k}}{\delta_{k}} \frac{\sinh\delta_{k}\left(\varphi_{2}-\varphi\right)}{\sinh\beta_{k}\left(\varphi_{2}-\varphi\right)} \sin\beta_{k}t; \qquad (2.2)$$

в области $(\varphi_1 \leqslant \varphi \leqslant \varphi_2, \, -t_1 \leqslant t \leqslant 0)$

$$F_{3}(t, \varphi) = C_{1}e^{3t} \left[\cos\varphi - \frac{\cos\varphi_{1} \cdot \sin 3 \left(\varphi_{2} - \varphi_{1}\right) + \cos\varphi_{2} \cdot \sin 3 \left(\varphi_{2} - \varphi_{1}\right)}{\sin 3 \left(\varphi_{2} - \varphi_{1}\right)} \right] - C_{2}e^{2t} \left[1 - \frac{\sin 2 \left(\varphi_{2} - \varphi_{1}\right) + \sin 2 \left(\varphi_{2} - \varphi_{1}\right)}{\sin 2 \left(\varphi_{2} - \varphi_{1}\right)} \right] - \frac{Qb^{3}}{6J} \left[3 e^{t} \cos\varphi - 2 \cos\varphi_{1} + 2e^{3t_{2}} \left(\cos\varphi_{1} - \cos\varphi_{2}\right) \frac{\varphi - \varphi_{1}}{\varphi_{2} - \varphi_{1}} \right] - e^{3t} \frac{\cos\varphi_{1} \cdot \sin 3 \left(\varphi_{2} - \varphi\right) + \cos\varphi_{2} \cdot \sin 3 \left(\varphi - \varphi_{1}\right)}{\sin 3 \left(\varphi_{2} - \varphi_{1}\right)} \right] - \frac{2}{\sin 3 \left(\varphi_{2} - \varphi_{1}\right)} \sum_{k=1}^{\infty} \frac{mY_{k}}{\delta_{k}} \frac{\sinh\delta_{k} \left(t_{2} - t\right)}{\sinh\delta_{k} \left(t_{2} - t\right)} \sin\delta_{k} \left(\varphi - \varphi_{1}\right) - \frac{2}{\varphi_{2} - \varphi_{1}} \sum_{k=1}^{\infty} \frac{C_{k}}{\delta_{k}} \frac{\sinh\delta_{k} t}{\sinh\delta_{k} t_{2}} \sin\delta_{k} \left(\varphi - \varphi_{1}\right);$$

$$(2.3)$$

в области ($\varphi_1 \leqslant \varphi \leqslant \varphi_2$, $0 \leqslant t \leqslant t_2$), где

$$\beta_{k} = \frac{k\pi}{t_{1}}, \quad \delta_{k} = \frac{k\pi}{\varphi_{2} - \varphi_{1}},$$

$$C_{1} = \frac{(1 + 2\sigma) Qb^{3}}{8(1 + \delta) J}, \quad C_{2} = \frac{\sigma x_{0} Qb_{2}}{4(1 + \sigma)J};$$

$$A_{k} = -8C_{1} \cos \varphi_{1} \frac{\beta_{k}^{2} \left[1 + (-1)^{k+1} e^{-3t_{1}}\right]}{(\beta_{k}^{2} + 1) (\beta_{k}^{2} + 9)} + 4C_{2} \frac{1 + (-1)^{k+1} e^{-2t_{1}}}{\beta^{2} + 4} + \frac{Qb^{3} \cos \varphi_{1}}{J} \cdot \frac{(\beta_{k}^{2} - 3) \left[1 + (-1)^{k+1} e^{-3t_{1}}\right]}{(\beta_{k}^{2} + 1) (\beta_{k}^{2} + 9)};$$

$$(2.5)$$

(2.5)

$$B_{k} = -8C_{1}e^{-3t_{1}} \frac{\delta_{k}^{2} \left[\cos\varphi_{1} + (-1)^{k+1}\cos\varphi_{2}\right]}{\left(\delta_{k}^{2} - 1\right)\left(\delta_{k}^{2} - 9\right)} + 4C_{2}e^{-2t_{1}}\frac{1 + (-1)^{k+1}}{\delta_{k}^{2} - 4} + \frac{Qb^{2}e^{-3t_{1}}}{J} \cdot \frac{\left(\delta_{k}^{2} + 3\right)\left[\cos\varphi_{1} + (-1)^{k+1}\cos\varphi_{2}\right]}{\left(\delta_{k}^{2} - 1\right)\left(\delta_{k}^{2} - 9\right)}; \tag{2.6}$$

$$C_{k} = -8C_{1}e^{3t_{2}} \frac{\delta_{k}^{2} \left[\cos\varphi_{1} + (-1)^{k+1}\cos\varphi_{2}\right]}{\left(\delta_{k}^{2} - 1\right)\left(\delta_{k}^{2} - 9\right)} + 4C_{2}e^{2t_{2}} \cdot \frac{1 + (-1)^{k+1}}{\delta_{k}^{2} - 4} +$$

$$+\frac{Qb^3 e^{3t_2}}{J} \cdot \frac{(\delta_k^2 + 3) \left[\cos \varphi_1 + (-1)^{k+1} \cos \varphi_2\right]}{(\delta_k^2 - 1) (\delta_k^2 - 9)}; \tag{2.7}$$

$$x_0 = \frac{2b}{3} \frac{(1 - e^{-3t_1})\sin\varphi_2 + (e^{3t_2} - 1)(\sin\varphi_2 - \sin\varphi_1)}{(1 - e^{-2t_1})\varphi_2 + (e^{2t_2} - 1)(\varphi_2 - \varphi_1)}; \tag{2.8}$$

$$J = \frac{b^4}{4} \left[\varphi_2 \left(1 - e^{4t_1} \right) \left(1 - \frac{\sin 2\varphi_2}{2\varphi_2} \right) + (\varphi_2 - \varphi_1) \left(e^{4t_2} - 1 \right) \left(1 - \frac{1}{2\varphi_2} \right) \right]$$

$$-\frac{\sin 2\varphi_{2} - \sin 2\varphi_{1}}{2(\varphi_{2} - \varphi_{1})}$$
 (2.9)

Для определения постоянных X_k и Y_k получаем совокупность из двух бесконечных систем линейных уравнений:

$$Y_{p} = \sum_{k=1}^{\infty} a_{\text{Rp}} X_{k} + P_{p}$$

$$(p = 1, 2, 3 \cdots)$$

$$X_{p} = \sum_{k=1}^{\infty} b_{\text{Rp}} Y_{k} + Q_{p},$$
(2.10)

где

$$a_{\text{Kp.}} = \frac{2}{mt_1 \left[\coth \delta_p t_1 + \coth \delta_p t_2 \right]} \cdot \frac{\delta_p}{\beta_k^2 + \delta_p^2}, \qquad (2.11)$$

$$b_{\text{KP}} = \frac{2m}{(\varphi_2 - \varphi_1) \left[\text{th} \beta_{\rho z_1} + \text{cth} \beta_{\rho} (\varphi_2 - \varphi_1) \right]} \cdot \frac{\beta_{\rho}}{\delta_k^2 + \beta_{\rho}^2};$$

$$P_{\rho} = \frac{1}{m \left[\text{cth} \delta_{\rho} t_1 + \text{cth} \delta_{\rho} t_2 \right]} \left[\frac{Qb^3 (\cos \varphi_1 - \cos \varphi_2) (e^{3t_2} - e^{-3t_1})}{\delta t_1} + \frac{C_{\rho}}{\sinh \delta_{\rho} t_2} + \frac{B_{\rho}}{\sinh \delta_{\rho} t_1} \right],$$

$$Q_{\rho} = \frac{1}{t - \varphi_1 + \text{cth} \beta_{\rho} (\varphi_2 - \varphi_1)} \left\{ 8C_1 \frac{\beta_{\rho}^2 e^{-3t_1} (-1)^{\rho+1}}{(\beta_{\rho}^2 + 1) (\beta_{\rho}^2 + 9)} \left[\cos \varphi_1 \cdot \text{cth} \beta_{\rho} (\varphi_2 - \varphi_1) - \frac{\cos \varphi_2}{\sinh \beta_{\rho} (\varphi_2 - \varphi_1)} \right] - \frac{Qb^3}{J} \frac{(\beta_{\rho}^2 - 3)e^{-3t_1} (-1)^{\rho+1}}{(\beta_{\rho}^2 + 1) (\beta_{\rho}^2 + 9)} \left[\cos \varphi_1 \cdot \text{cth} \beta_{\rho} (\varphi_2 - \varphi_1) - \frac{\cos \varphi_2}{\sinh \beta_{\rho} (\varphi_2 - \varphi_1)} \right] - 4C_2 \frac{e^{-2t_1} (-1)^{\rho+1}}{\beta_{\rho}^2 + 4} \text{th} \frac{\beta_{\rho} (\varphi_2 - \varphi_1)}{2} + \frac{\beta_{\rho}}{\sinh \beta_{\rho} (\varphi_2 - \varphi_1)} + \left(3C_1 - \frac{Qb^3}{2J} \right) \frac{\cos \varphi_2 - \cos \varphi_1 \cdot \cos 3 (\varphi_2 - \varphi_1)}{\sin 3 (\varphi_2 - \varphi_2)} \times \frac{Qb^3}{\sin 3 (\varphi_2 - \varphi_2)}$$

$$\times \frac{\beta}{\beta_{\rho} + 9} - A_{\rho} \tanh \beta_{\rho} \varphi_{1} - 2C_{2} tg (\varphi_{2} - \varphi_{1}) \frac{\beta_{\rho}}{\beta_{\rho}^{2} + 4} - \frac{Qb^{3}}{2J} \sin \varphi_{1} \times \frac{\beta_{\rho}}{\beta_{\rho}^{2} + 1} + \frac{Qb^{3}}{3J} \frac{\cos \varphi_{1} - \cos \varphi_{2}}{\beta_{\rho} (\varphi_{2} - \varphi_{1})} \right\}. \tag{2.12}$$

Покажем, что системы (2.10) вполне регулярны. Действительно, для суммы модулей коэффициентов систем (2.10) имеют место следующие неравенства:

$$\sum_{k=1}^{\infty} a_{\text{KP}} = \frac{1}{m} \cdot \frac{\coth \delta_{\rho} t_{1} - \frac{1}{\delta_{\rho} t_{1}}}{\coth \delta_{\rho} t_{1} + \coth \delta_{\rho} t_{2}} \leq \frac{1}{2m},$$

$$\sum_{k=1}^{\infty} b_{\text{KP}} = m \cdot \frac{\coth \beta_{\rho} (\varphi_{2} - \varphi_{1}) - \frac{1}{\beta_{\rho} (\varphi_{2} - \varphi_{1})}}{\coth \beta_{\rho} (\varphi_{2} - \varphi_{1}) + \ln \beta_{\rho} \varphi_{1}} \leq m;$$

$$(2.13)$$

Постоянное число т выбираем из равенства

$$\frac{1}{2m} = m$$
, τ . e. $m = \frac{1}{\sqrt{2}}$.

Тогда согласно (2.13) будем иметь

$$\sum_{k=1}^{\infty} |a_{\text{kp.}}| \leq \frac{\sqrt{2}}{2} , \quad \sum_{k=1}^{\infty} |b_{\text{kp.}}| \leq \frac{\sqrt{2}}{2} ,$$

т. е. системы (2.10) оказались вполне регулярными.

Легко видеть из (2.12), что свободные члены системы (2.10) ограничены сверху и при $p \rightarrow \infty$ стремятся к нулю.

§3. Определение центра изгиба. Координата центра изгиба определяется по выражению

$$\bar{x} = -\frac{M}{O}, \quad \bar{y} = 0,$$
 (3.1)

где M—момент от касательных напряжений, взятый относительно начала координат, т. е.

$$M = b^3 \int \int \tau_{z\varphi} e^{3t} \, \mathrm{d}t \, d\varphi. \tag{3.2}$$

Подставляя выражения = из (1.7) в (3.2), произведя некоторое преобразование и пользуясь формулами (2.1)—(2.3), после интегрирования получим следующую формулу:

$$-e^{-3t_{1}}\left(\frac{1-e^{-2t_{1}}}{4t_{1}}\right) - \frac{\varphi_{1}b^{2}}{2}C_{2}\left[\frac{(1-e^{-2t_{1}})^{2}}{t_{1}} - 1 + e^{-4t_{1}}\right] + \frac{Qb^{5}}{5}\frac{(1-e^{-2t_{1}})\varphi_{1}}{6t_{1}}\left[\left(e^{3t_{2}} - e^{-3t_{1}}\right)\cos\varphi_{2} - \left(e^{3t_{2}} - 1\right)\cos\varphi_{1}\right] - \frac{4b^{2}}{t_{1}}\sum_{k=1}^{\infty}\frac{1+(-1)^{k+1}e^{-2t_{1}}}{\beta_{k}\left(\beta_{k}^{2} + 4\right)}\left[\left(X_{k} + A_{k}\right)\operatorname{th}\beta_{k}\varphi_{1} + X_{k}\operatorname{th}\frac{\beta_{k}\left(\varphi_{2} - \varphi_{1}\right)}{2}\right] - \frac{8b^{2}}{\varphi_{2} - \varphi_{1}}\sum_{k=1,3,\dots}^{\infty}\frac{mY_{k}}{\delta_{k}\left(\delta_{k}^{2} - 4\right)}\left(\operatorname{cth}\delta_{k}t_{1} + \operatorname{cth}\delta_{k}t_{2} - \frac{e^{-2t_{1}}}{\operatorname{sh}\delta_{k}t_{1}} - \frac{e^{2t_{2}}}{\operatorname{sh}\delta_{k}}\right) + \frac{8b^{2}}{\varphi_{2} - \varphi_{1}}\sum_{k=1,3,\dots}^{\infty}\frac{1}{\delta_{2}\left(\delta_{k}^{2} - 4\right)}\left[B_{k}\left(e^{-2t_{1}}\operatorname{cth}\delta_{k}t_{1} + \frac{1}{\operatorname{sh}\delta_{k}t_{1}} - \frac{2e^{-2t_{1}}}{\delta_{k}}\right) - C_{k}\left(e^{2t_{2}}\operatorname{cth}\delta_{k}t_{2} - \frac{1}{\operatorname{sh}\delta_{k}t_{2}} - \frac{2e^{2t_{2}}}{\delta_{k}}\right)\right]. \tag{3.3}$$

§3. Числовой пример. В качестве числового примера рассмотрен изгиб призматического стержня с поперечным сечением в виде кольцевого сектора с симметрично расположенными боковыми выступами, размеры которого следующие: b = a + 1, c = a + 2. CG = FG = GE, где a принимает значение 2, 3, 4, 5, ∞ .

В таблице для этих случаев приведены значения координаты центра изгиба $x=x_0+\Delta x$, где x_0- главная часть значения координаты центра изгиба, получающаяся из (3.3) путем отбрасывания последних трех рядов, а $\Delta x-$ влияние этих же рядов на значение координаты центра изгиба.

a	$\frac{\overline{x}_0}{b}$	$\frac{\Delta \bar{x}_0}{b}$	$\frac{\overline{x}}{b}$	$\frac{\sqrt{2x}}{x} \cdot 100^{-0/0}$
2	0.6761	0.0147	0.6908	2.17 °/0
3	0.9107	0.0106	0,9213	1.17 °/°
4	0.9787	0.0071	0.9858	0.72 %
5	1,0957	0.0032	1.0989	0,30 %
∞	1,2732	0	1,2732	0

Из таблицы видно, при вычислении значения координаты центра изгиба для тонких стержней ($a \gg 3$, 2) можно отбрасывать последние три ряда в формуле (3.3), т. е. не иметь дела с бесконечными уравнениями. При этом ошибка не превосходит 1 0 0.

В заключение выражаю благодарность Б. Л. Абрамяну за руководство настоящей работой.

Институт математики и механики Академии наук Армянской ССР

Կուագիծ մասում ճեղքով օղակային սեկsուի **કեսք ունեցող ընդլայնական** հա**չվածքով ա**լիզմաչիկ ձողեւի ծռումը

ողվածում տրվում է ալըիզմատիկ ձողերի ծոման իւնդրի ճշղրիտ լուծումը, երբ Հողի ընդլայնական հատվածքն ունի կորտգիծ մասում սիմնտրիկ ճեղքով օղակային սեկտորի տեսք, մեկ սիմետրիայի առանցք, իսկ ծռող ուժն ուղղահայաց է սիմետրիայի առանցքին և անցնում է ծոման կենտրոնով։

Խնդիրը րերվում է լիովի ռեզուլյար գծային անվերջ հավասարումների սիստեմի

նավոր օրինակներում հաշված են ծոման կենտրոնի կոորդինատի արժերները, որոնք թերված են աղյուսակում: Ազյուսակի հիման վրա առաջարկվում է ըարակ պատ ունեցող ձողերի ծոման կենտրոնի համար մոտավոր րանաձև:

ЛИТЕРАТУРА— ЧРИЧИКЫ ПЬ МВОБЬ

¹ Н. Х. Арутюнян, Решение задачи о кручении стержней полигонального поперечного сечения. ПММ, т. XIII, в. I, 1949. ² Б. Л. Абрамян, ДАН АрмССР, т. XXVIII, № 3 (1959).